

Pracownia z analizy numerycznej

Sprawozdanie do zadania P3.1

Prowadzący: dr Rafał Nowak

Mateusz HAZY

Wrocław, 28 stycznia 2018

1 Wstęp

Rozwiązywanie równań różniczkowych jest szczególnie istotnym problemem ze względu na szerokie zastosowanie w opisywaniu rzeczywistości. Równania mechaniki klasycznej, zasad dynamiki, falowe, Einsteina, Maxwella i wiele innych kluczowych dla fizyki równań ma postać różniczkową. Istnieją metody rozwiązywania równań różniczkowych pewnych szczególnych typów, jednak w ogólności jest to bardzo trudne. Niniejsze sprawozdanie ma na celu opisanie numerycznej metody znajdowania rozwiązań równań różniczkowych opracowanej przez C. W. Clenshawa i H. J. Nortona oraz przetestowanie tej metody w praktyce.

2 Opis problemu

Będziemy rozważać równania różniczkowe postaci:

$$y'(x) = f(y(x), x) \text{ z warunkiem początkowym } y(\xi) = \eta \quad (1)$$

zwane równaniami różniczkowymi pierwszego rzędu.

Naszym celem będzie przybliżenie funkcji y na przedziale $[-1, 1]$

Metoda Clenshaw-Nortona opiera się o przedstawienie funkcji jako kombinacji liniowej wielomianów Czebyszewa oraz iterację punktu stałego zwaną iteracją Picarda. W następnych rozdziałach zajmiemy się własnościami wielomianów Czebyszewa, aproksymacji średniokwadratowej oraz iteracji Picarda potrzebnych do wyprowadzenia metody Clenshaw-Nortona.

3 Iteracja Picarda

Aby zastosować iterację Picarda, należy przekształcić równanie (1) do postaci całkowej.

Twierdzenie 1. *Równanie*

$$y'(x) = f(y(x), x) \quad y(\xi) = \eta$$

Jest równoważne równaniu

$$y(x) = \eta + \int_{\xi}^x f(y(t), t) dt$$

Dowód.

$$\begin{aligned} y'(x) &= f(y(x), x) \\ \int_{\xi}^x y'(t) dt &= \int_{\xi}^x f(y(t), t) dt \\ y(x) - y(\xi) &= \int_{\xi}^x f(y(t), t) dt \end{aligned}$$

$$y(x) = \eta + \int_{\xi}^x f(y(t), t) dt$$

□

W iteracji Picarda tworzony jest ciąg funkcji $y_i(x)$, $\{i = 0, 1, 2 \dots\}$ zadany wzorem:

$$y_0 = \eta, \quad y_i = \eta + \int_{\xi}^x f(y_{i-1}(t), t) dt \quad (2)$$

3.1 Zbieżność iteracji

Można pokazać, że w szczególnych przypadkach iteracja jest zbieżna, jednak w ogólnym przypadku nie należy się tego spodziewać. Dalsze rozważania na temat zbieżności iteracji Picarda można znaleźć w pozycjach [1] oraz [2].

4 Wybrane własności wielomianów Czebyszewa

Poniżej udowodnimy szereg własności wielomianów Czebyszewa. Każde z twierdzeń będzie bezpośrednio wykorzystane do wyprowadzenia metody Clenshawa-Nortona. Lematy będą niezbędne w dowodzeniu twierdzeń.

Przyjmijmy następujące oznaczenia :

T_k – k -ty wielomian Czebyszewa,

$$u_j = \cos \frac{j\pi}{N} \text{ dla } j = 0 \dots N - \text{ekstrema } T_N,$$

$$\langle f, g \rangle = \sum_{j=0}^N{}'' f(u_j)g(u_j) - \text{ pewien iloczyn skalarny.} \quad (3)$$

Lemat 1.

$$T_k(\cos x) = \cos kx \quad (4)$$

Dowód. (Indukcja)

1. dla $k = 0, 1$ równość jest prawdziwa.
2. Załóżmy że dla $l < k$ równość jest prawdziwa. Pokażemy że dla k również.

$$\begin{aligned} T_k(\cos x) &= 2 \cos x T_{k-1}(\cos x) - T_{k-2}(\cos x) = 2 \cos x \cos(k-1)x - \cos(k-2)x = \\ &= (\cos kx + \cos(k-2)x) - \cos(k-2)x = \cos kx \end{aligned}$$

□

Twierdzenie 2. *Wielomiany Czebyszewa stopnia nie większego niż N tworzą bazę wielomianów ortogonalnych dla iloczynu skalarnego (3). Ponadto wartości $\langle T_k, T_j \rangle$ zadane są wzorem:*

$$\langle T_k, T_l \rangle = \begin{cases} 0, & \text{gdy } k \neq l \\ \frac{N}{2}, & \text{gdy } k = l, k \neq 0, N \\ N, & \text{gdy } k = l, k = 0, N \end{cases} \quad (5)$$

Dowód.

$$\begin{aligned} \langle T_k, T_l \rangle &= \sum_{j=0}^N{}'' T_k(\cos \frac{j\pi}{N}) \cdot T_l(\cos \frac{j\pi}{N}) = \sum_{j=0}^N{}'' \cos \frac{kj\pi}{N} \cdot \cos \frac{lj\pi}{N} = \\ &= \frac{1}{2} \left(\sum_{j=0}^N{}'' \cos \frac{(k-l)j\pi}{N} + \sum_{j=0}^N{}'' \cos \frac{(k+l)j\pi}{N} \right) \end{aligned}$$

Obie sumy mają postać $\sum_{j=0}^N{}'' \cos \frac{wj\pi}{N}$ dla pewnego w . Rozważmy wartości takiej sumy.

Lemat 2.

$$\sum_{j=0}^N \cos \frac{wj\pi}{N} = \begin{cases} N, & \text{gd}y \ w = 0, 2N \\ 0, & \text{gd}y \ 0 < w < 2N \end{cases} \quad (6)$$

Korzystając z powyższego lematu mamy:

$$\frac{1}{2} \left(\sum_{j=0}^N \cos \frac{(k-l)j\pi}{N} + \sum_{j=0}^N \cos \frac{(k+l)j\pi}{N} \right) = \begin{cases} \frac{1}{2}(0+0) = 0, & \text{gd}y \ k \neq l \\ \frac{1}{2}(N+0) = \frac{N}{2}, & \text{gd}y \ k = l, k \neq 0, N \\ \frac{1}{2}(N+N) = N, & \text{gd}y \ k = l, k = 0, N \end{cases}$$

□

Dowód. (Lematu 2.)

1. $w = 0$

$$\sum_{j=0}^N \cos \frac{wj\pi}{N} = \sum_{j=0}^N \cos 0 = \sum_{j=0}^N 1 = N \quad (7)$$

2. $w = 2N$

$$\sum_{j=0}^N \cos \frac{wj\pi}{N} = \sum_{j=0}^N \cos \frac{2Nj\pi}{N} = \sum_{j=0}^N \cos 2j\pi = \sum_{j=0}^N 1 = N \quad (8)$$

3. $0 < w < 2N$

$$\sum_{j=0}^N \cos \frac{wj\pi}{N} = \sum_{j=0}^N \cos \frac{wj\pi}{N} - \frac{\cos 0}{2} - \frac{\cos w\pi}{2} \quad (9)$$

$$\begin{aligned} \sum_{j=0}^N \cos \frac{wj\pi}{N} &= \frac{1}{\sin \frac{w\pi}{2N}} \sum_{j=0}^N \sin \frac{w\pi}{2N} \cdot \cos \frac{wj\pi}{N} = \\ &= \frac{1}{2 \sin \frac{w\pi}{2N}} \sum_{j=0}^N \sin \frac{(2j+1)w\pi}{2N} + \sin \frac{(1-2j)w\pi}{2N} = \\ &= \frac{1}{2 \sin \frac{w\pi}{2N}} \sum_{j=0}^N -\sin \frac{(2j-1)w\pi}{2N} + \sin \frac{(2j+1)w\pi}{2N} = \\ &= \frac{\sin \frac{w\pi}{2N} + \sin (\frac{k\pi}{2N} + w\pi)}{2 \sin \frac{w\pi}{2N}} = \begin{cases} 0, & \text{dla } w \text{ nieparzystych} \\ 1, & \text{dla } w \text{ parzystych} \end{cases} \end{aligned}$$

Wracając do (9) otrzymujemy

$$\sum_{j=0}^N \cos \frac{wj\pi}{N} = \begin{cases} 0 - \frac{1}{2} + \frac{1}{2} = 0, & \text{dla } w \text{ nieparzystych} \\ 1 - \frac{1}{2} - \frac{1}{2} = 0, & \text{dla } w \text{ parzystych} \end{cases}$$

□

Kombinację liniową wielomianów Czebyszewa możemy jawnie scałkować. Wystarczy znaleźć zależność między współczynnikami kombinacji liniowej a współczynnikami całki z tej kombinacji.

Poniższy lemat zostanie wykorzystany w twierdzeniu opisującym tę zależność.

Lemat 3.

$$\int T_k = \frac{1}{2} \left(\frac{T_{k+1}}{k+1} - \frac{T_{k-1}}{k-1} \right), \ k > 1$$

Dowód. Zastosujemy podstawienie $x = \cos t$

$$\begin{aligned} \int T_k(x) dx &= - \int T_k(\cos t) \sin t dt = - \int \cos kt \sin t dt = \\ &= -\frac{1}{2} \int \sin(-(k-1)t) + \sin((k+1)t) dt = -\frac{1}{2} \int -\sin((k-1)t) + \sin((k+1)t) dt = \\ &= \frac{1}{2} \left(\frac{\cos(k+1)t}{k+1} - \frac{\cos(k-1)t}{k-1} \right) = \frac{1}{2} \left(\frac{T_{k+1}}{k+1} - \frac{T_{k-1}}{k-1} \right) \end{aligned}$$

□

Twierdzenie 3. Załóżmy, że y (kombinacja liniowa wielomianów Czebyszewa) zadana jest wzorem:

$$y = \sum_{k=0}^{N-1} a'_k T_k$$

Natomiast całka z y wzorem:

$$\int y = \sum_{k=0}^N a_k T_k$$

Wtedy

$$a_k = \begin{cases} \frac{1}{2k}(a'_{k-1} - a'_{k+1}), & \text{dla } k = 1 \dots N-2 \\ \frac{1}{2k}a'_{k-1}, & \text{dla } k=N-1, N \end{cases} \quad (10)$$

Dowód.

$$\begin{aligned} \int y &= \int \sum_{k=0}^{N-1} a'_k T_k = \frac{a'_0}{2} x + \frac{a'_1}{2} x^2 + \sum_{k=2}^{N-1} a'_k \int T_k = \\ &= \frac{a'_0}{2} x + \frac{a'_1}{2} x^2 + \sum_{k=2}^{N-1} \frac{a'_k}{2} \left(\frac{T_{k+1}}{k+1} - \frac{T_{k-1}}{k-1} \right) + C_1 = \\ &= \frac{a'_0}{2} x + \frac{a'_1}{4} (2x^2 - 1) + \sum_{k=2}^{N-1} \frac{a'_k}{2} \left(\frac{T_{k+1}}{k+1} - \frac{T_{k-1}}{k-1} \right) + C_2 = \\ &= \sum_{k=1}^{N-2} \frac{1}{2k} (a'_{k-1} - a'_{k+1}) T_k + \frac{a'_{N-1}}{2N} T_N + \frac{a'_{N-2}}{2(N-1)} T_{N-1} + C = \sum_{k=0}^N a_k T_k \end{aligned}$$

□

5 Aproksymacja średniokwadratowa

Zajmiemy się szczególnym przypadkiem aproksymacji średniokwadratowej na zbiorze dyskretnym $\{\cos \frac{k\pi}{N} : k = 0 \dots N\}$.

Można udowodnić, że z ustalonym iloczynem skalarnym $\langle \cdot, \cdot \rangle$ N -ty wielomian optymalny w sensie normy średniokwadratowej dla funkcji f wyraża się wzorem:

$$\sum_{k=0}^N \frac{\langle f, P_k \rangle}{\langle P_k, P_k \rangle} P_k \quad (11)$$

gdzie

$\{P_k\}$ – zbiór wielomianów ortogonalnych z iloczynem skalarnym $\langle \cdot, \cdot \rangle$.

W przypadku aproksymacji dyskretniej na zbiorze $\{\cos \frac{k\pi}{N} : k = 0 \dots N\}$ wzór ten można uprościć, o czym mówi poniższe twierdzenie.

Twierdzenie 4. N -ty wielomian optymalny w sensie normy średniokwadratowej dla funkcji f z iloczynem skalarnym (3) zadany jest wzorem

$$W_N^* := \sum_{r=0}^N c_r T_r, \quad c_r := \frac{2}{N} \sum_{s=0}^N f\left(\cos \frac{s\pi}{N}\right) \cos \frac{rs\pi}{N} \quad (12)$$

Dowód. Z (2) wiemy, że $\{T_k\}$ jest zbiorem wielomianów ortogonalnych dla iloczynu skalar-
nego (3). Zatem N -ty wielomian optymalny funkcji f w sensie normy średniokwadratowej
zadany jest wzorem:

$$\sum_{r=0}^N \frac{\langle f, T_r \rangle}{\langle T_r, T_r \rangle} T_r$$

Korzystając ze wzoru (5) przekształcamy:

$$\sum_{r=0}^N \frac{\langle f, T_r \rangle}{\langle T_r, T_r \rangle} T_r = \sum_{r=0}^N \left[\frac{2}{N} \sum_{s=0}^N f(u_s) T_r(u_s) \right] T_r$$

Stąd:

$$\begin{aligned} c_r &= \frac{2}{N} \sum_{s=0}^N f(u_s) T_r(u_s) = \frac{2}{N} \sum_{s=0}^N f\left(\cos \frac{s\pi}{N}\right) T_r\left(\cos \frac{s\pi}{N}\right) = \\ &= \frac{2}{N} \sum_{s=0}^N f\left(\cos \frac{s\pi}{N}\right) \cos \frac{rs\pi}{N} \end{aligned}$$

□

6 Metoda Clenshawa-Nortona

Idea metody jest wykorzystanie aproksymacji średniokwadratowej funkcji na zbiorze punk-
tów $\{\cos \frac{k\pi}{N} : k = 0 \dots N\}$ w iteracji Picarda.

Przypomnijmy, że (2) tworzony był ciąg funkcji $\{y_i\}$.

Za pomocą metody Clenshawa-Nortona będziemy tworzyć ciąg funkcji $\{\tilde{y}_i\}$, taki że $\tilde{y}_i \approx y_i$
dla każdego i .

Zmodyfikujemy iterację Picarda:

Przez $W_N^{(i-1)}$ oznaczmy N -ty wielomian optymalny dla funkcji $f(\tilde{y}_{i-1}(x), x)$.

W równaniu (2) pod f podstawmy $W_N^{(i-1)}$. Wówczas równanie (2) przyjmuje postać:

$$\tilde{y}_i = \eta + \int_{\xi}^x W_N^{(i-1)}(t) dt \quad (13)$$

Możemy przyjąć że, jeśli

$$\tilde{y}_{i-1} \approx y_{i-1}$$

to

$$f(y_{i-1}(x), x) \approx f(\tilde{y}_{i-1}(x), x) \approx W_N^{(i-1)}$$

zatem

$$\eta + \int_{\xi}^x W_N^{(i-1)}(t) dt \approx \eta + \int_{\xi}^x f(y_{i-1}(t), t) dt$$

więc

$$\tilde{y}_i \approx y_i$$

Rozważmy sposób, w jaki będzie tworzony ciąg funkcji $\tilde{y}_0, \tilde{y}_1, \tilde{y}_2, \tilde{y}_3, \dots$

Cel :

Dla każdego i funkcja \tilde{y}_i będzie przedstawiona w postaci:

$$\tilde{y}_i = \sum_{r=0}^{N+1} A_r^{(i)} T_r \quad (14)$$

Początek iteracji:

Przedstawmy $\tilde{y}_0 = y_0 = \eta$ jako kombinację liniową wielomianów Czebyszewa

$$\tilde{y}_0 := \sum_{r=0}^{N+1} A_r^{(0)} T_r$$

gdzie

$$A_0^{(0)} := 2\eta, \quad A_r^{(0)} := 0 \quad \text{dla } r > 0$$

Krok metody:

Pokażemy, że jeśli \tilde{y}_{i-1} ma postać (14), to możemy wykonać krok metody i przedstawić \tilde{y}_i również w takiej postaci.

Założmy że

$$\tilde{y}_{i-1} = \sum_{r=0}^{N+1} A_r^{(i-1)} T_r$$

Wyliczamy $f(\tilde{y}_{i-1}(\cos \frac{k\pi}{N}), \cos \frac{k\pi}{N}) \quad k = 0 \dots N$.

Znając wartości f w punktach $\{\cos \frac{k\pi}{N}\}$ możemy wyliczyć N -ty wielomian optymalny dla funkcji $f(\tilde{y}_{i-1}(x), x)$ korzystając ze wzoru (12).

Mamy:

$$W_N^{(i-1)}(x) := \sum_{r=0}^N C_r^{(i)} T_r(x) \approx f(\tilde{y}_{i-1}(x), x)$$

$$\sum_{r=0}^N C_r^{(i)} T_r = \sum_{r=0}^N B_r^{(i)} T_r, \text{ gdzie } B_r^{(i)} = \begin{cases} C_r^{(i)}, & \text{dla } r < N \\ \frac{C_r^{(i)}}{2}, & \text{dla } r = N \end{cases}$$

Więc:

$$W_N^{(i-1)}(x) = \sum_{r=0}^N B_r^{(i)} T_r(x) \approx f(\tilde{y}_{i-1}(x), x)$$

Wyliczamy całkę z $W_N^{(i-1)}(x)$ korzystając ze wzoru (10):

$$F_i(x) := \left(\int W_N^{(i-1)}(t) dt \right)(x) = \left(\int \sum_{r=0}^N B_r^{(i)} T_r(t) dt \right)(x) = C + \sum_{r=1}^{N+1} A_r^{(i)} T_r(x)$$

Rozpisując (13) otrzymujemy

$$\begin{aligned} \tilde{y}_i(x) &= \eta + \int_{\xi}^x W_N^{(i-1)}(t) dt = \eta + F_i(x) - F_i(\xi) = \\ &= \sum_{r=1}^{N+1} A_r^{(i)} T_r(x) + \left(\eta - \sum_{r=1}^{N+1} A_r^{(i)} T_r(\xi) \right) = \sum_{r=0}^{N+1} A_r^{(i)} T_r(x) \end{aligned}$$

gdzie

$$A_0^{(i)} := 2 \left(\eta - \sum_{r=1}^{N+1} A_r^{(i)} T_r(\xi) \right)$$

7 Testy

W przeprowadzanych testach dokładnością wyniku będziemy nazywać największy moduł różnicy między wartością poprawnego rozwiązania, a rozwiązaniem uzyskanym za pomocą metody Clenshawa-Nortona w punktach $\{-1 + \frac{2k}{M} : k = 0, 1 \dots M\}$ dla $M = 1000$.

Badając jakość metody Clenshawa-Nortona warto zwrócić uwagę na następujące zagadnienia:

1. Wybór kryterium zapewniającego zadaną dokładność wyniku.
2. Dokładność wyniku w zależności od wyboru N - długości kombinacji liniowej wielomianów Czebyszewa, którymi aproksymujemy funkcję.
3. Dokładność wyniku w zależności od liczby wykonanych iteracji.

7.1 Przykłady równań różniczkowych

Testy będą przeprowadzane na wybranych przykładach równań różniczkowych:

1. $f(y, x) = \frac{5(y-1)}{x-2} - \frac{10x^4}{x-2}$, $y(1) = 2$, **Rozwiązanie:** $y(x) = x^5 + 1$
2. $g(y, x) = y^2$, $y(-1) = \frac{2}{5}$, **Rozwiązanie:** $y(x) = \frac{1}{\frac{3}{2}-x}$
3. $h(y, x) = 2 \cos^2 x + y \tan x$, $y(0) = 1$, **Rozwiązanie:** $y(x) = 2 \frac{\sin x}{\cos x} - 2 \frac{\sin^3 x}{3 \cos x} + \frac{1}{\cos x}$
4. $p(y, x) = -y$, $y(0) = 1$, **Rozwiązanie:** $y = e^{-x}$

Równania zostały wybrane tak, aby sprawdzić jak najwięcej typów równań różniczkowych.

7.2 Kryterium dokładności wyniku

W metodzie Clenshawa-Nortona trudno jednoznacznie stwierdzić, kiedy uzyskany wynik staje się dokładny. Dlatego warto stworzyć heurystykę na tyle dobrze sprawdzającą się w praktyce, aby dokładność wyniku była proporcjonalna do dokładności żądanej w heurystyce. Jedną z takich heurystyk może być kryterium podobne do warunku Cauchy'ego zbieżności funkcji.

Intuicyjnie: Jeśli od pewnego momentu kolejne iteracje powodują niewielkie zmiany funkcji \tilde{y}_i , to znaczy, że uzyskaliśmy już dokładny wynik.

Ściśle:

Założmy, że

$$\tilde{y}_i = \sum_{r=0}^{N+1} A_r^{(i)} T_r(x), \quad \tilde{y}_{i+1} = \sum_{r=0}^{N+1} A_r^{(i+1)} T_r(x)$$

Ustalmy pewien $\varepsilon > 0$. (Wartość ε będziemy nazywać dokładnością kryterium).

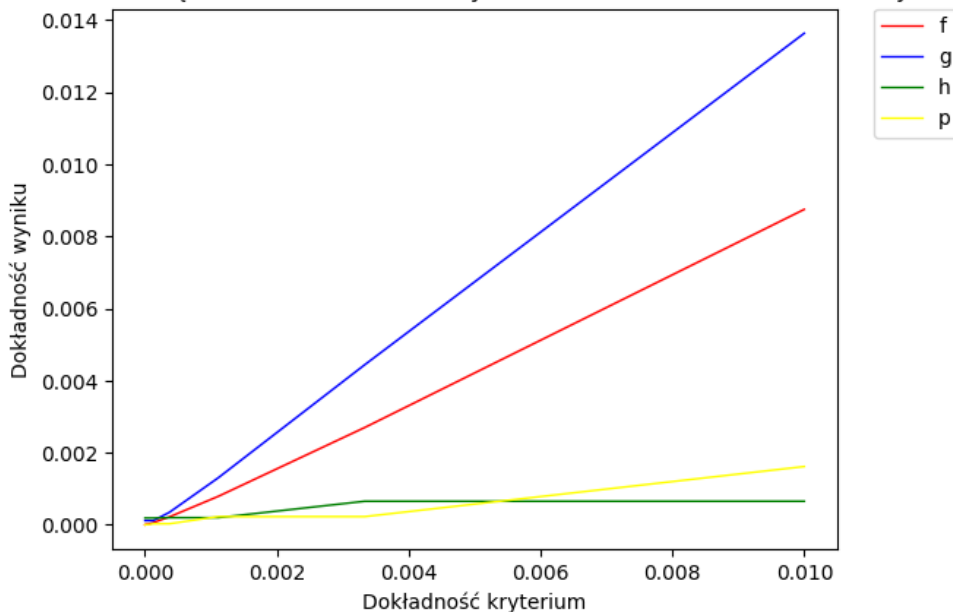
Jeśli

$$\max_{0 \leq r \leq N} |A_r^{(i+1)} - A_r^{(i)}| < \varepsilon$$

to uznajemy, że uzyskaliśmy wynik z dokładnością $C \cdot \varepsilon$ dla pewnego C .

Sprawdźmy jak powyższa heurystyka sprawdza się w praktyce

Dokładność rozwiązań równań różniczkowych w zależności od dokładności kryterium



Rzeczywiście dokładność wyniku dla każdego równania jest proporcjonalna do dokładności kryterium. Co więcej, w każdym przypadku dokładność wyniku nie przekracza dwukrotności dokładności kryterium.

7.3 Dokładność wyniku w zależności od N oraz liczby iteracji

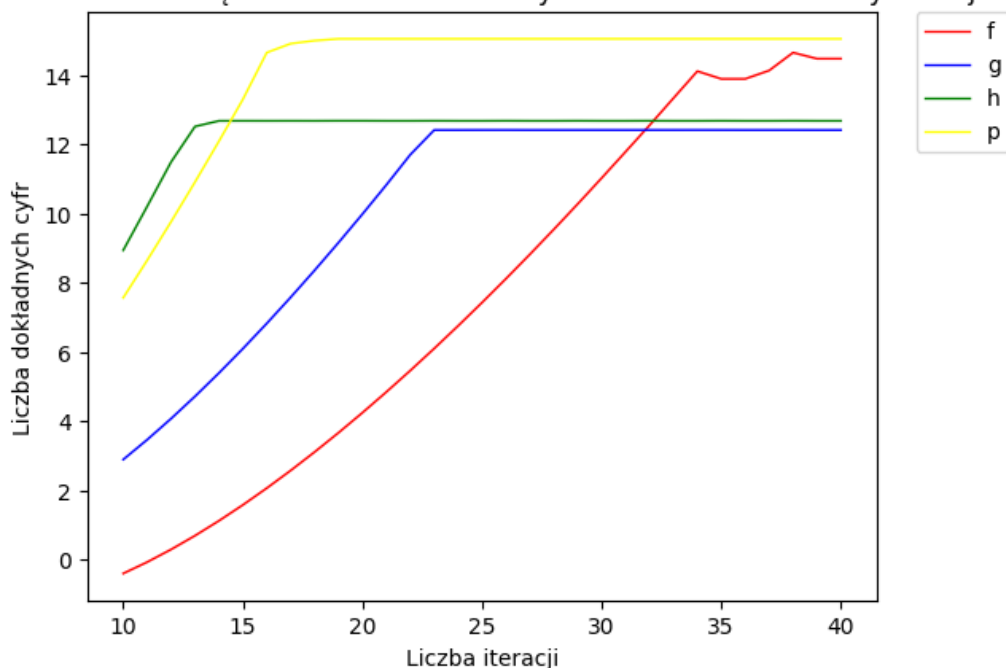
Można się spodziewać, że im większa liczba iteracji bądź im większe N , tym wynik będzie dokładniejszy.

Zwiększając N otrzymujemy lepsze przybliżenia funkcji przy aproksymacji, z kolei wyniki kolejnych iteracji powinny być coraz bliższe poprawnego wyniku, o ile metoda jest zbieżna.

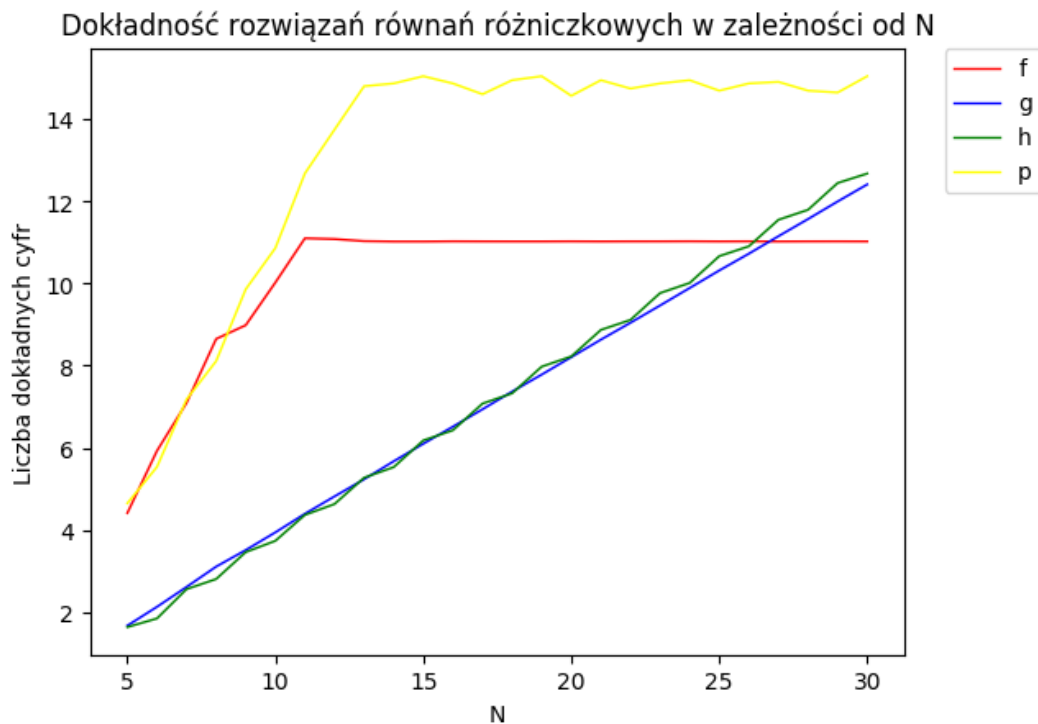
Liczbę dokładnych cyfr dziesiętnych wyniku możemy szacować przez $-\log_{10}m$, gdzie m jest dokładnością wyniku.

Zbadajmy liczbę dokładnych cyfr dziesiętnych w zależności od liczby iteracji przy ustalonym $N = 30$.

Dokładność rozwiązań równań różniczkowych w zależności od liczby iteracji



Można zauważyć, że zależność jest liniowa i stabilizuje się na poziomie 12-14 dokładnych cyfr dziesiętnych. Jednak w zależności od równania, potrzeba do tego od 15 do aż 35 iteracji. Zbadajmy liczbę dokładnych cyfr dziesiętnych w zależności od wartości N przy ustalonej liczbie 30 iteracji.



Można zaobserwować podobne zachowanie, jak w przypadku zależności liczby dokładnych cyfr w zależności od liczby iteracji.

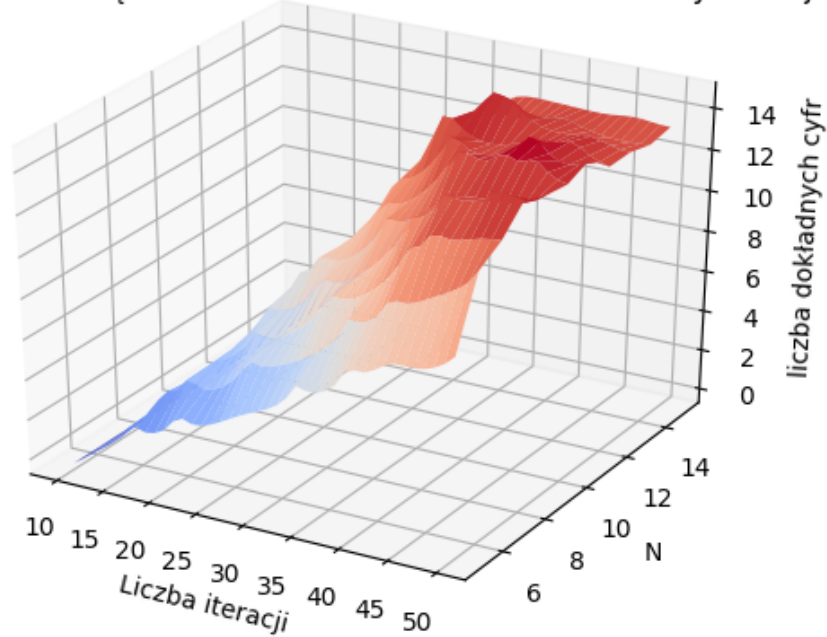
Oznaczmy $D_\phi(N, R)$ jako liczbę dokładnych cyfr dziesiętnych rozwiązania równania ϕ w zależności od N oraz liczby iteracji (R).

Na podstawie powyższych obserwacji możemy przypuszczać że

$$D_\phi(N, R) = aN + bR, \text{ dla pewnych } a, b \in \mathbb{R}$$

Sprawdźmy powyższą hipotezę na przykładzie równania f .

Dokładność rozwiązania równania f w zależności od liczby iteracji i N



Wykres można przybliżyć płaszczyzną, co oznacza, że hipoteza rzeczywiście może być prawdziwa.

8 Równania wyższych rzędów

Rozważmy równanie różniczkowe postaci

$$y^{(k)} = f(y^{(k-1)}, y^{(k-2)}, \dots, y, x), \quad y^{(k-1)}(\xi_{k-1}) = \eta_{k-1}, \dots, y(\xi_0) = \eta_0 \quad (15)$$

Rzędem równania (15) nazywamy wartość k .

Za pomocą metody Clenshawa-Nortona możemy rozwiązywać równania pierwszego rzędu. Można jednak uogólnić tę metodę, aby rozwiązywać równania wyższych rzędów.

Rozważmy ponownie krok iteracji:

W metodzie Clenshawa-Nortona aproksymujemy pochodną funkcji (y'), a następnie wyliczamy funkcję (y) całkując pochodną oraz korzystając z warunku początkowego. W każdym kroku funkcja y jest przedstawiona jako kombinacja liniowa wielomianów Czebyszewa.

W uogólnionej metodzie będziemy aproksymować najwyższą pochodną (y^k), a niższe pochodne będziemy wyliczać całkując pochodną o jeden wyższą i korzystając z warunków początkowych. Analogicznie, w każdym kroku funkcje $y^{(i)}$ będą przedstawione jako kombinacje liniowe wielomianów Czebyszewa. Korzystając ze wzoru (10) możemy uzyskać:

$$y^{(i)} = \int y^{(i+1)} = \sum_{r=1}^{N+k-i} A_{r_i} T_r + C$$

Wyraz wolny wyliczamy z warunku początkowego:

$$y^{(i)}(\xi_i) = \eta_i$$

$$C = \eta_i - \sum_{r=1}^{N+k-i} A_{r_i} T_r(\xi_i)$$

Podstawmy $A_{0_i} := 2C$.

Wówczas:

$$y^{(i)} = \sum_{r=0}^{N+k-i} A_{r_i} T_r$$

8.1 Testy

W metodzie Clenshawa-Nortona tworzymy ciąg \tilde{y}_i , którego każdy element jest bliski y_i . W każdym kroku zakładamy, że przybliżenie jest na tyle dokładne, że nie zaburza oryginalnej iteracji Picarda. W uogólnionym przypadku w każdym kroku zakładamy tak nie tylko dla y_i , ale również dla jej $k - 1$ pochodnych. Można się więc spodziewać, że im wyższy będzie rząd równania, dla którego szukamy rozwiązania, tym zbieżność metody będzie wolniejsza.

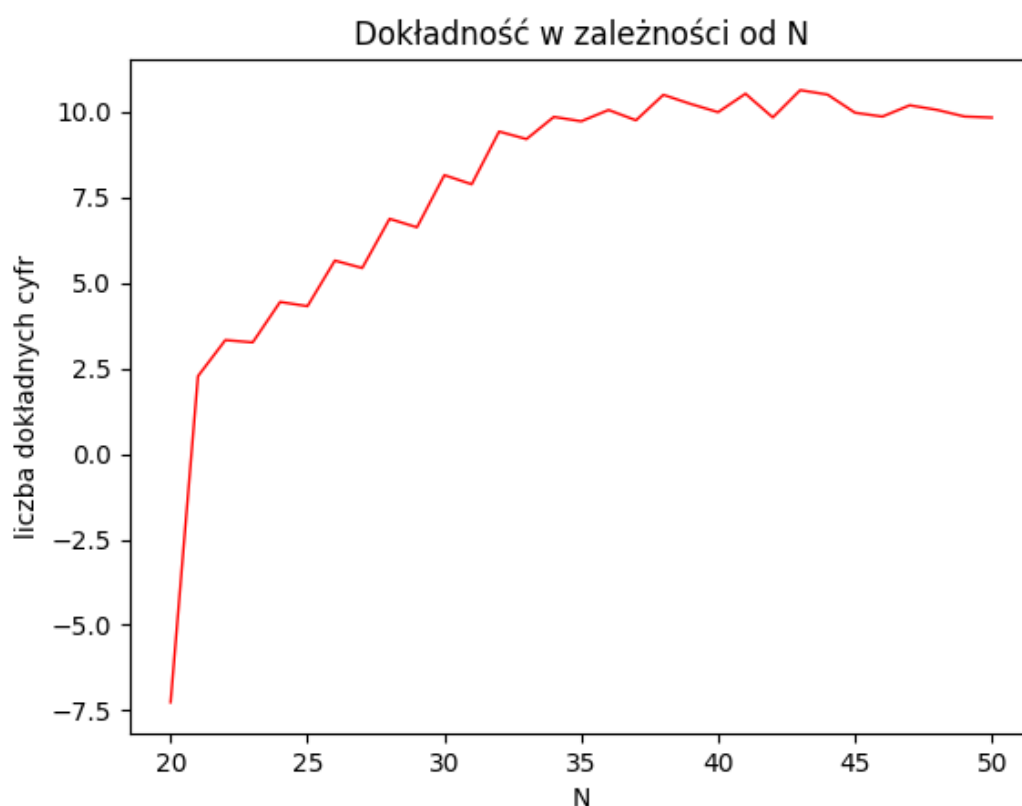
Rozważmy równanie ruchu harmonicznego:

$$f(y', y, x) = -\omega^2 y, \quad y(0) = 1, \quad y'(0) = \frac{1}{2}$$

Rozwiązaniem równania jest:

$$y(x) = \cos \omega x + \frac{1}{2\omega} \sin \omega x$$

Sprawdźmy dokładność rozwiązań tego równania dla $\omega = 15$ po 500 iteracjach w zależności od N .



Dla $N \leq 20$ metoda nie jest zbieżna (błąd metody to około 10^7). Warto zauważyć, że pomimo dużej liczby iteracji, dokładność wyników dla $N \approx 25$ jest mała – od 3 do 5 dokładnych cyfr dziesiętnych. Dla dużych wartości N metoda uzyskuje wynik z dokładnością do 10 cyfr dziesiętnych.

9 Podsumowanie

Dzięki wykorzystaniu aproksymacji średniokwadratowej funkcji na zbiorze dyskretnym możemy w łatwy sposób przeprowadzić iterację Picarda ze względu na proste wzory na całkowanie wielomianów Czebyszewa. Pozwala to na rozwiązywanie skomplikowanych równań różniczkowych, w szczególności nieliniowych oraz wyższych rzędów.

Metoda Clenshawa-Nortona znajduje wielomian przybliżający rozwiązanie równania różniczkowego na przedziale $[-1, 1]$, więc za pomocą przekształceń afinicznych funkcji można przybliżać rozwiązanie na dowolnym przedziale.

W przeciwieństwie do wielu metod rozwiązywania równań różniczkowych, metoda Clenshawa-Nortona znajduje wynik jako funkcję, a nie zbiór wartości w wybranych punktach.

Niestety metoda w ogólności nie ma gwarancji zbieżności. Jednak możemy za jej pomocą uzyskać dokładne wyniki dla wielu istotnych w praktyce równań.

Doświadczenia wykazały, że brak zbieżności może być spowodowany wyborem zbyt małej wartości N . Jednak przy użyciu arytmetyki większej precyzji można skutecznie przeprowadzić iteracje dla znacznie większego N .

Podsumowując, metoda Clenshawa-Nortona stanowi bardzo silne narzędzie w dziedzinie rozwiązywania równań różniczkowych.

Literatura

- [1] C. W. Clenshaw, H. J. Norton. *The solution of nonlinear ordinary differential equation in Chebyshev series*.
- [2] M. A. Ahmed. *A characterization of the convergence of Picard iteration to a fixed point for a continuous mapping and an application*. Assiut University, 2005.
- [3] R. Szwarc *Analiza matematyczna ISIM I*.